

## รายการอ้างอิง

### ภาษาไทย

คณะกรรมการวิชาการคณะที่ 406. มาตรฐานผลิตภัณฑ์อุตสาหกรรมกรดซีตริก,  
2526.

นิมล กิจขันธ์. ปัจจัยที่มีผลต่อการผลิตกรดมะนาวในอาหารเหลว โดย

*Aspergillus niger*. วิทยานิพนธ์มหาบัณฑิต หลักสูตรเทคโนโลยีชีวภาพ  
บัณฑิตวิทยาลัย มหาวิทยาลัยเกษตรศาสตร์ 2532.

ศยามล หนองบุญนาค. การผลิตกรดมะนาวโดย แอสเพอร์จิลลัส ไนเจอร์

ด้วยวิธีการหมักในอาหารเหลว. วิทยานิพนธ์มหาบัณฑิต  
หลักสูตรเทคโนโลยีชีวภาพ บัณฑิตวิทยาลัย จุฬาลงกรณ์  
มหาวิทยาลัย 2534.

### ภาษาอังกฤษ

Atkinson B., and Mavituna, F. Biochemical Engineering and Biotechnology. pp.74  
New York : Macmillan, 1983.

Beniel, A.M., and Israel, J. Extraction of Organic Acids from Aqueous Solution.

U.S. Pat. 4,334,095. 8(June 1982)

Blumberg, R., and Hajdu, K. Recovery of Acids from Aqueous Solution.  
U.S. Pat. 4,275,234. 23(June 1981)

Bevilacqua, A.E., and Califano A.N. Determine of Organic Acid in Dairy  
Products by High Performance Liquid Chromatography. J. Food  
Science. 54(1987): 1076-1079.

Canata, P., Calabria, R. and Longobardi, G. Process and Equipment for Producing  
Crystalline Citric Acid from Solutions of Alkaline Citrates.  
U.S. Pat. 3,968,017. 6(July 1976)

Crueger, W., and Cruger, A. Organic Acid in Biotechnology. In T.D. Brock,, ed.,  
Industrial Microbiology, pp. 109-112. New York :  
Academic press, 1987.

- Edwin, O.W. The Decomposition of Citric Acid. J. Phys. Chems.  
52(1960) : 4729
- Fugene, W.E. Precipitation. In P.N. Lacey, ed., Physical and Chemical Methods of Separation. pp. 185-226. New York : McGraw-Hill, 1963.
- Helferich, F. Ion Exchange. pp. 20-93 New York : McGraw-Hill, 1962.
- Israel, G., and Richard, W. Biotechnology and Food Ingredients.  
In D.H. Dean ed., pp. 352-353. New York : Academic Press, 1991.
- John, W.H. Purification with Activated Carbon. pp. 55-87. New York : Chemical Publishing, 1974.
- Kubicek, C.P., and Rohr, M. Citric Acid Fermentation. Critical Review in Biotechnology. 3(1986) : 331-373.  
\_\_\_\_\_Novel Trends in Physiological and Technology of Citric Acid Production. Over Production of Microbial Metabolites.  
pp. 263-269. New York : Academic Press, 1982.
- Kulprathipanja, S., and Hoffman, E. Separation of Citric Acid from Fermentation Broth with A Neutral Polymers Absorbent. U.S. Pat. 4,720,579. 19(June 1988)
- \_\_\_\_\_Separation of Citric Acid from Fermentation Broth with A Weakly Basic Anion Exchange Rasin Adsorbent. U.S. Pat. 4,851,573. 25(July 1989)
- Leader, E., and Leader, M. Ion Exchange Chromatography. pp. 38-60  
New York : Elserrier, 1962.
- Lizuka, H., et al. Process for The Production of Citric Acid by Fermentation.  
U.S. Pat. 3,622,455. 23(November 1971)
- Lockwood, L.B. The Production of Organic Acids by Fermentation,  
Microbial Technology. (vol. 1, 2nd ed.) pp. 355, New York : Academic Press, 1979.
- Mattey, M. The Production of Organic Acid. Critical Review in Biotechnology. 12(1992): 87-132.

- Matha, W., and Rosemary, F.B. An Encyclopedia of Chemicals Drugs and Biologicals. (10th ed.) pp. 988. New York : Academic Press, 1983.
- Meitzner, E. F., and Oline, J.A. Polymerization Process and Products Therefrom. U.S. Pat. 4,224,415. 9(September 1980a)
- \_\_\_\_\_Process for Preparing Macrorecticular Resins Copolymers and Products of Said Process. U.S. Pat. 4,382.124. 3(May 1983)
- \_\_\_\_\_Reticular Crosslinked Monovinylidene N- Heterocyclic copolymer. U.S. Pat. 4,221,871. 23(September 1980b)
- Minczewki, J., and Kathryn, D. Precipitation Method in Inorganic Coprecipitation. In M. Florkin, znd E.H. stotz, eds., Separation and Preconcentration Method in Inorganic Trace Analysis. pp. 98-103. New York : Ellis Horword, 1982.
- Milson, P.E., and Meer, J.L. Citric Acid, Comprehensive Biotechnology. (vol. 3) pp.663-689. New York : Pergamon Press, 1985.
- Prescott, S.C., and Dunn, C.G. The Citric Acid Fermentation. Industrial Microbiology, (3 rd. ed.) pp. 555-577. New York : McGraw Hill, 1959.
- Robert, C.W., Melrin, J.A., and William, H.B. CRC Handbook of Chemistry and Physics. pp. 254. Florida : CRC Press, 1988-1989.
- \_\_\_\_\_Physical Constants of Inorganic Compounds. CRC Handbook and Physics. (68 th ed. ) pp. 186. Florida : CRC Press, 1987-1988.
- Shu, R., and Johnson, M.J. The Independence of Medium Constituents in Citric Acid Production by Submerged Fermentation. J. Bacteriol. 56(1948) : 577-585
- Sidney W. Official Method of Analysis. (14 th, ed.) Association of Official Analytical Chemists, 1984.
- Snyder, L.R., and Kirkland, J.J. Introduction to Modern Liquid Chromatography. pp. 86. New York : John Wiley and Sons, 1974.

Sodech, P.J. Citric Acid Fermentation According to Submerged Culture.

Proc. Biochem. (vol. 16) pp. 9-11. 1981.

Stern, J.R. Assay of Tricarboxylic Acids. pp. 95-97. New York :

Academic Press, 1957.

Tan, H.S., Mekibben, D.M., and Glasser, A.C. Improved Assay for Mixture of Citric Acid in Systemic Alcalines Solution. J. Phaemaceutical Scien. 70(1981) : 693-695.

Warren P.Y., and Herman F. Multiport Rotary Disc Valve with Linear Protection Means U.S. Pat. 3,422,848. 21(Jan 1969)

William, D.L., Nunn, R.F., and Mark, V. eds. Scientific Foundation of Clinical Biochemistry. (vol. 1) pp.87 London : William Heinemann Medical Books, 1980.

ศูนย์วิทยทรัพยากร  
จุฬาลงกรณ์มหาวิทยาลัย

ภาคผนวก



1. สูตรอาหารที่ใช้ในการเลี้ยงเชื้อรา *A. niger A 185* เพื่อผลิตกรดมะนาว  
ในอาหารเหลว

1.1 สูตรอาหารที่ใช้เก็บรักษาเชื้อราและเพิ่มจำนวนสปอร์

ได้แก่ โพเตโตเด็กซ์ไตร索าร์การ์ (Potato dextrose agar , PDA) ในอาหาร 1 ลิตร  
ประกอบด้วย

มันฝรั่ง	300 กรัม
(ต้มในน้ำเดือดกรองเฉพาะส่วนใส)	
เด็กซ์ไตรส	20 กรัม
วุ้นผง	20 กรัม

นึ่งฆ่าเชื้อที่อุณหภูมิ 121°ช. ความดัน 15 ปอนด์ / ตารางนิ้ว เป็นเวลา 15 นาที

1.2 สูตรอาหารสำหรับเตรียมหัวเชื้อ ในอาหาร 1 ลิตร ประกอบด้วย

แป้งที่ย่อยแล้ว ( DE = 86 % )	200 กรัม
แอมโมเนียมชัลเฟต	3.5 กรัม
โปตัสเซียมโนโนไซโตรเจนฟอสเฟต	0.3 กรัม
โปตัสเซียมไดไฮโดรเจนฟอสเฟต	0.3 กรัม
แมกนีเซียมชัลเฟต เอปต้าไฮเดรท	0.3 กรัม

นึ่งฆ่าเชื้อที่อุณหภูมิ 121°ช. ความดัน 15 ปอนด์ / ตารางนิ้ว เป็นเวลา 15 นาที

1.3 สูตรอาหารเพื่อการผลิตกรดมะนาว ในอาหาร 1 ลิตร ประกอบด้วย

แป้งที่ย่อยแล้ว ( DE = 86 % )	450 กรัม
แอมโมเนียมชัลเฟต	0.4 กรัม
โปตัสเซียมโนโนไซโตรเจนฟอสเฟต	0.4 กรัม
โปตัสเซียมไดไฮโดรเจนฟอสเฟต	0.4 กรัม
มัคเคนเซียมชัลเฟต เอปต้าไฮเดรท	0.3 กรัม

นึ่งฆ่าเชื้อที่อุณหภูมิ 121 °ช. ความดัน 15 ปอนด์ / ตารางนิ้ว เป็นเวลา 15 นาที

## 2. การเตรียมสารเคมีที่ใช้ในงานวิจัย

### 2.1 การเตรียมสารละลายน้ำโซเดียมโซเดียม

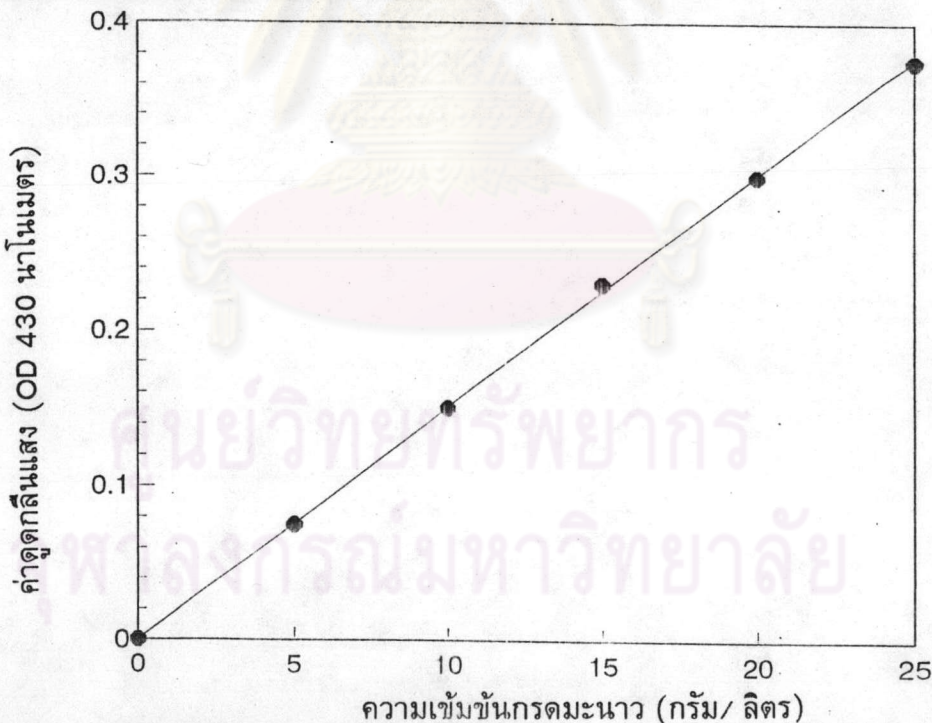
ชั้งไหโซเดียมโซเดียม 4 กรัม เดิมน้ำปริมาตร 100 มล. (ไหโซเดียมโซเดียม ร้อยละ 4) ผสมให้เข้ากัน ได้สารละลายน้ำโซเดียมโซเดียม 2 กรัม เดิมลงในสารละลายน้ำโซเดียมโซเดียม ผสมให้ละลายทั่วทั้งชั้ง

### 2.2 การเตรียม conditioning reagent

ผสม 50 มล. ของกลีเซอรอล 30 มล. ของกรดไฮโดรคลอริกเข้มข้น 37% (v/v) 300 มล. ของน้ำกลั่น 100 มล. ของอัลกอฮอล์ 100% และ 75 กรัมของโซเดียม คลอไรด์ ให้เป็นสารละลายน้ำ

## 3. กราฟมาตรฐานสำหรับการประมาณการความนำด้วยวิธีเพนตาบอร์โนะซิโน

เตรียมสารละลายน้ำมาตรฐาน โดยใช้กรดมาตรฐานบาริสูท์ 99.5% (w/w) ที่ปราศจากน้ำให้มีความเข้มข้นระหว่าง 0 - 25 กรัม/ลิตร ละลายในกรดซัลฟูริก 1 นอร์มัล ผ่านการทดลองตามวิธีในข้อ 5.1 เ肄ิ่นกราฟมาตรฐานระหว่างปริมาณการประมาณการ กับค่าดูดกลืนแสงที่ความยาวคลื่น 430 นาโนเมตร



รูปที่ 8 แสดงกราฟมาตรฐานสำหรับวิเคราะห์การประมาณการโดยวิธีเพนตาบอร์โนะซิโน  
จากรูปที่ 8 ได้สมการเส้นตรงเป็น  $Y = 0.015 X$

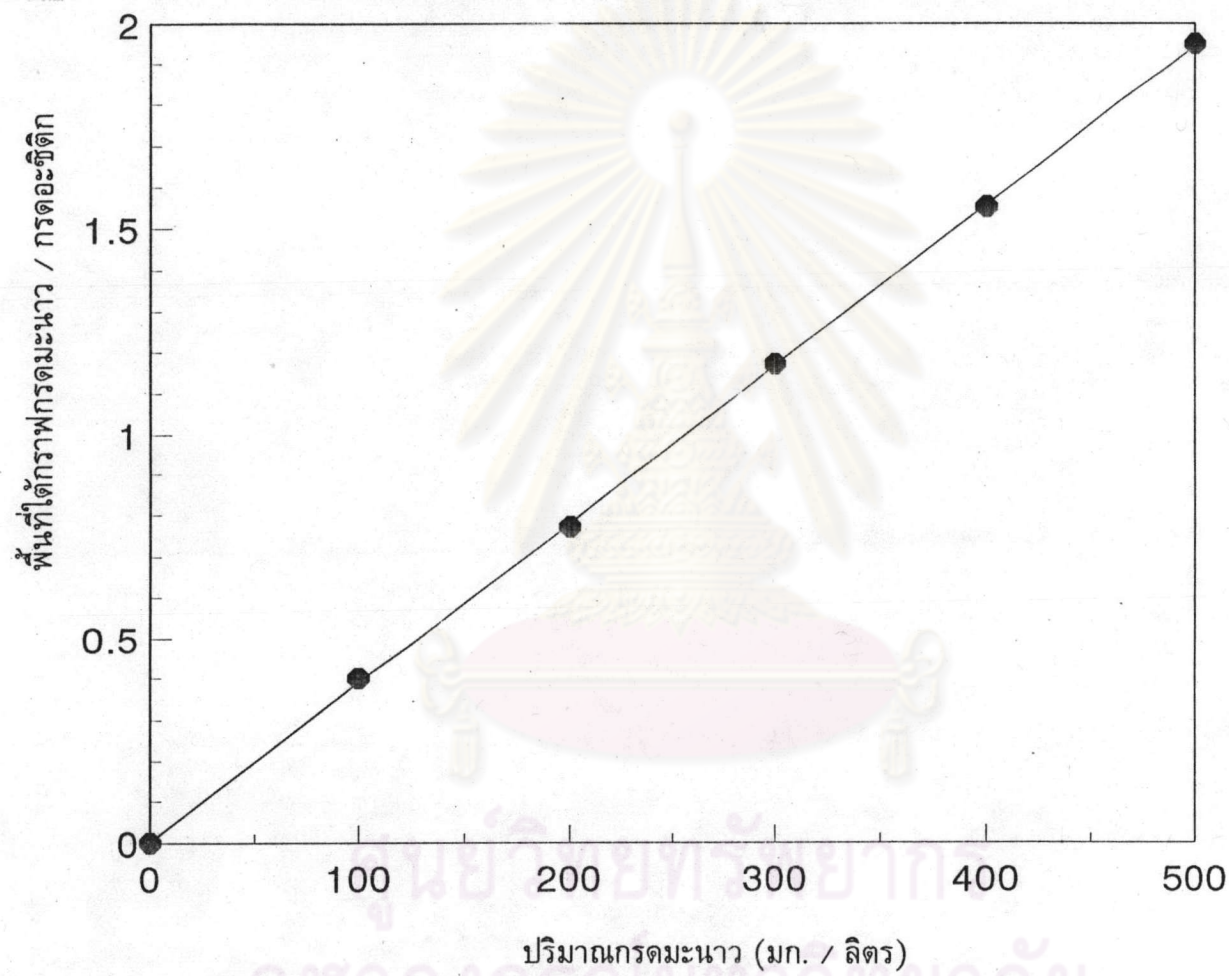
โดย Y เป็น ค่าดูดกลืนแสงที่ความยาวคลื่น 430 นาโนเมตร

X เป็น ความเข้มข้นการประมาณการ (กรัม / ลิตร)

มีค่าสัมประสิทธิ์สหสัมพันธ์ (correlation coefficient) เป็น 0.998

#### 4. กราฟมาตรฐานสำหรับหาปริมาณกรรมมงานโดยวิธี HPLC

เตรียมสารละลายน้ำมารดมงานมาตรฐานเข้มข้น 10 กรัม/ ลิตร โดยชั้งกรรมมงานมาตรฐานโนโนไซเดรทบิสุทธิ์ 99.5 % (w / w) ปริมาณ 10.9334 กรัม ละลายน้ำปรับปริมาตร ด้วย Volumetric flask เจือจางสารละลายน้ำให้มีความเข้มข้นในช่วง 0-500 มก./ ลิตร เติมกรดอะซิติกเข้มข้น 4 % (v / v) 100 ไมโครลิตร เป็นสารเบรียบเทียนภายในฉีดสารละลายน้ำมารดมงานที่เตรียมได้ตามวิธีในข้อ 5.2



รูปที่ 9 กราฟมาตรฐานสำหรับวิเคราะห์ปริมาณกรรมมงานด้วยวิธี HPLC

จากรูปที่ 9 ได้สมการเส้นตรงเป็น  $Y = 0.04 X$

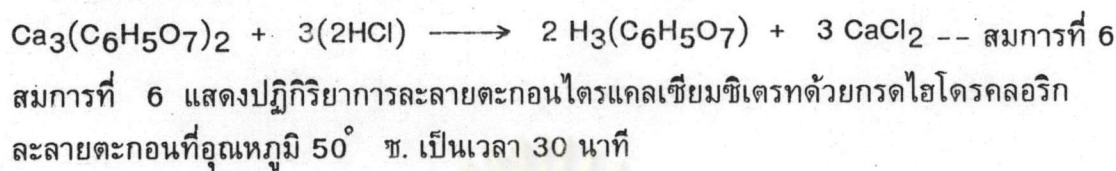
โดย Y เป็น พื้นที่ได้กราฟกรรมมงาน / กรดอะซิติก

X เป็น ความเข้มข้นกรรมมงาน ( มก./ ลิตร )

มีค่าสัมประสิทธิ์สหสัมพันธ์ ( correlation coefficient ) เป็น 0.999

## 5. การละลายตะกอนไตรแคลเซียมชีเต Rath เพื่อวิเคราะห์ปริมาณกรดมধนา

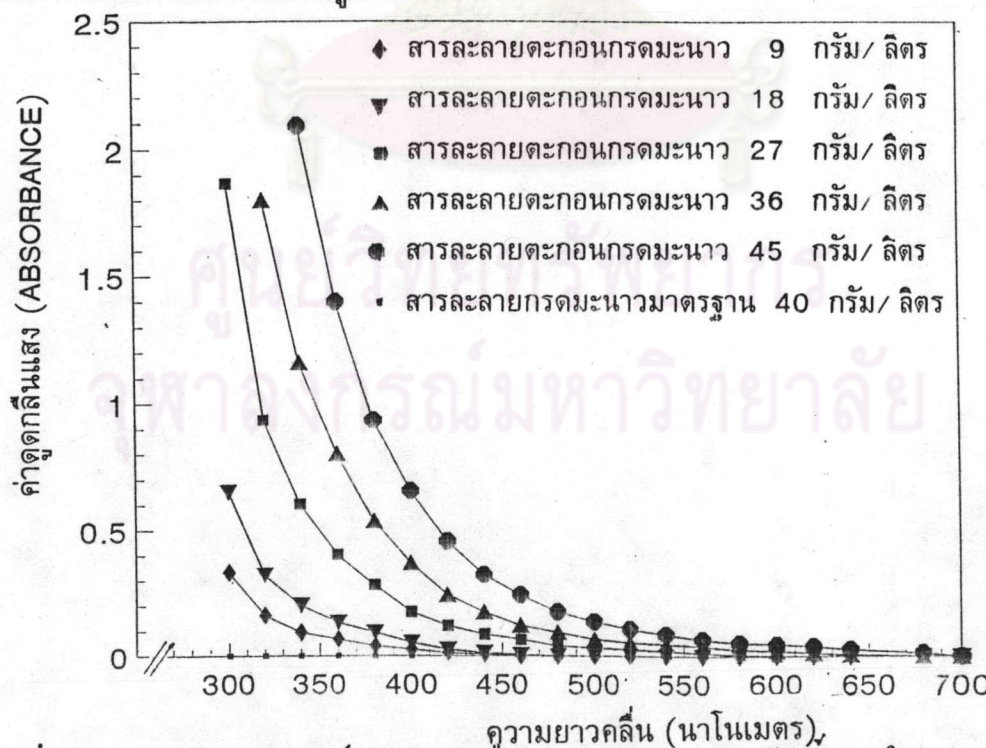
การละลายตะกอนไตรแคลเซียมชีเต Rath ด้วยกรดไฮโดรคลอริกเข้มข้น 2 นอร์มอล ในปริมาณที่พอติดตามสมการการละลายด้วยกรดไฮโดรคลอริก



## 6. การฟอกสีสารละลายตะกอนกรดมধนา

ได้ทดลองสุ่มหาความยาวคลื่นสำหรับวัดค่าดูดกลืนแสงในสารละลายตะกอนกรดมধนาที่มีสีของสารบันเปื้อน ด้วยผงถ่านกัมมันต์ โดยนำสารละลายตะกอนกรดมধนาที่มีปริมาณของแข็งทั้งหมด เท่ากับ 9, 18, 27, 36 และ 45 กรัม/ลิตร มาสุ่มวัดค่าดูดกลืนแสง ในช่วงความยาวคลื่น 300 - 700 นาโนเมตร โดยเปรียบเทียบกับสารละลายกรดมধนามาตรฐานที่มีน้ำหนักของแข็งทั้งหมดเท่ากับ 40 กรัม/ลิตร ผลแสดงในรูปที่ 10

ผลการวัดค่าดูดกลืนแสงในสารละลายกรดมধนามาตรฐานในช่วงความยาวคลื่นดังกล่าว ไม่มีค่าดูดกลืนแสงขณะที่ค่าดูดกลืนแสงในสารละลายตะกอนกรดมধนาแปรผันโดยตรงกับปริมาณ ของแข็งทั้งหมดในสารละลายตะกอน ซึ่งได้เลือกความยาวคลื่นที่มองเห็นคือ 400 นาโนเมตรสำหรับวัดค่าดูดกลืนแสงในการฟอกสี



รูปที่ 10 แสดงความสัมพันธ์ของค่าดูดกลืนแสงกับปริมาณของแข็งทั้งหมดในสารละลาย

## 7. การเตรียมแคทอิออนเรชินและแอนอิออนเรชินแลกเปลี่ยนประจุ (Meizner, 1980)

### 7.1 การเตรียมแคทอิออนเรชิน

แซ่แคทอิออนเรชิน Dowex- 50 จำนวน 30 กรัม ในกรดไฮโดรคลอริกเข้มข้น 2 นอร์มัล เป็นเวลา 4 ชม. บรรจุเรชินลงในคอลัมน์แก้วขนาดเส้นผ่าศูนย์กลาง 2.5 ซม. ยาว 30 ซม. ล้างเรชินในคอลัมน์ด้วยกรดไฮโดรคลอริก 2 นอร์มัล ปริมาตร 50 มล. ล้างเรชิน ในคอลัมน์ด้วยน้ำกรองที่ไม่มีประจุ จนกระทั่งน้ำที่ผ่านออกจากการคอลัมน์ให้ค่าพีเอชเป็นกลาง

### 7.2 การเตรียมแอนอิออนเรชิน

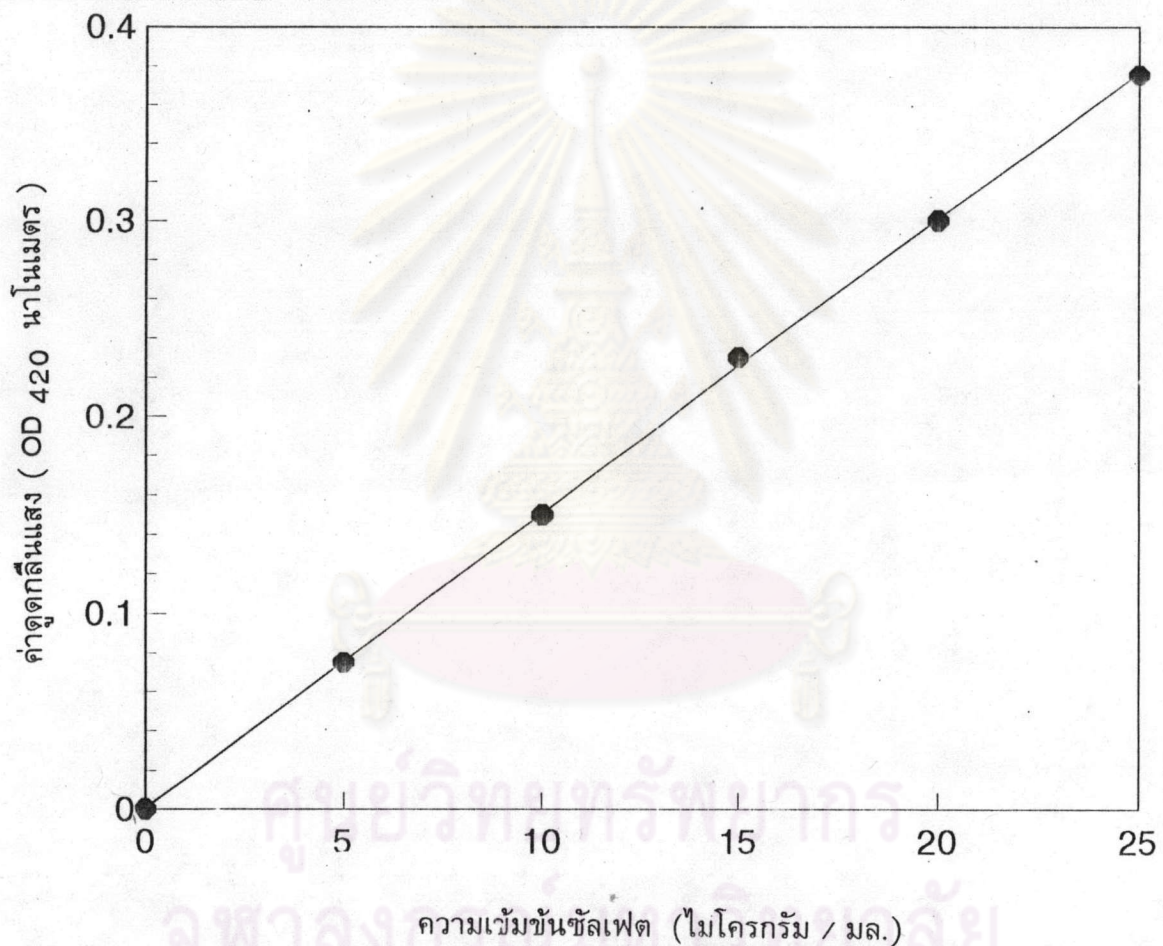
แซ่แอนอิออนเรชิน Dowex- 1 จำนวน 30 กรัมในสารละลายโซเดียมไฮดรอกไซด์ เข้มข้น 1 นอร์มัล เป็นเวลา 4 ชม. บรรจุเรชินในคอลัมน์ แก้วขนาดเส้นผ่าศูนย์กลาง 2.5 ซม. ยาว 30 ซม. ล้างเรชินในคอลัมน์ด้วยน้ำกรองที่ไม่มี ประจุจนกระทั่งน้ำที่ผ่านออกจาก คอลัมน์ให้ค่าพีเอชเป็นกลาง



รูปที่ 11 แสดงการจับประจุสารปนเปื้อนด้วยเรชินจับประจุบวกและจับประจุลบ

### 8. กราฟมาตรฐานหาปริมาณชัลเฟตโดยวิธีวัดความชุ่น (Sidney, 1984)

เตรียมสารละลายชัลเฟตมาตรฐานเข้มข้น 100 ไมโครกรัม/ มล. โดยซึ่งได้ใช้เดี่ยมชัลเฟต( $\text{Na}_2\text{SO}_4$ ) ปราศจากน้ำจำนวน 147.9 มก. ละลายน้ำปรับปริมาตรด้วย Volumetric flask เป็น 1 ลิตร เจือจางสารละลายชัลเฟตให้มีความเข้มข้น 5, 10, 15, 20 และ 25 ไมโครกรัม/ มิลลิลิตร (w/v) วัดค่าดูดกลืนแสงความชุ่นของสารละลายมาตรฐานตามวิธีการวิเคราะห์ ในข้อ 12.3 เชื่อมกราฟมาตรฐานระหว่างค่าดูดกลืนแสงของความชุ่นกับความเข้มข้นของสารละลายชัลเฟต



รูปที่ 12 แสดงกราฟมาตรฐานสำหรับวิเคราะห์ปริมาณชัลเฟต

จากรูปที่ 12 ได้สมการเส้นตรงเป็น  $Y = 0.015 X$

โดย  $Y$  เป็น ค่าดูดกลืนแสงที่ค่าความยาวคลื่น 420 นาโนเมตร

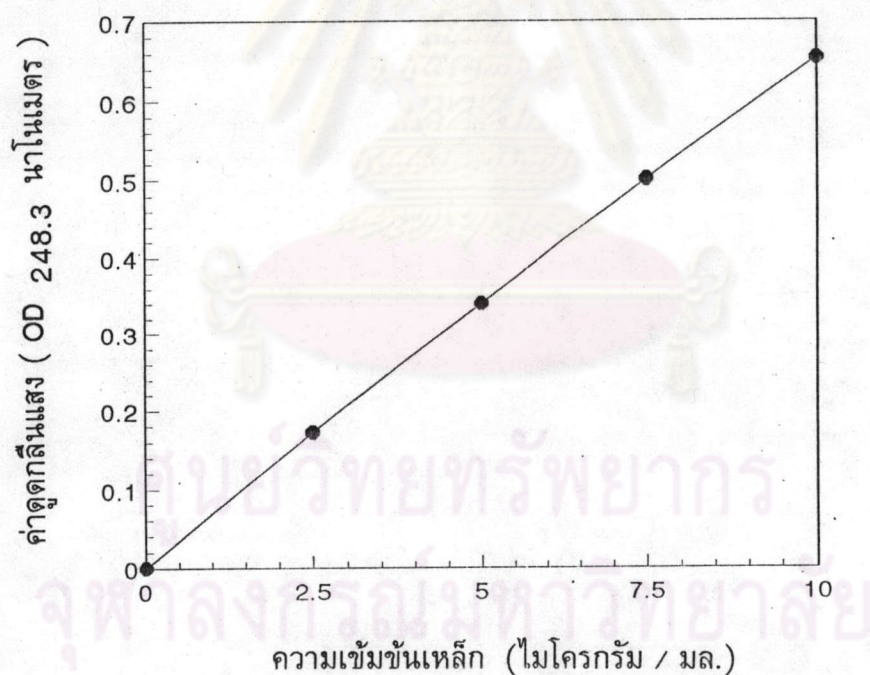
$X$  เป็น ความเข้มข้นชัลเฟต (ไมโครกรัม / มล.)

มีค่าสัมประสิทธิ์สหสัมพันธ์ (correlation coefficient) เป็น 0.996

**9. กราฟมาตราฐานหาปริมาณเหล็กโดยวิธีอะตอมมิกแอบชอร์พชัน (Sidney, 1984)**

เตรียมสารละลายน้ำแข็งขัน 2.5, 5, 7.5 และ 10 ไมโครกรัม / มล.  
วิเคราะห์ปริมาณเหล็กด้วยเครื่องอะตอมมิกแอบชอร์พชัน ในสภาวะดังต่อไปนี้

INSTRUMENT MODE	=	ABSORBANCE
CALIBRATION MODE	=	CONCENTRATION
WAVELENGHT (nm)	=	248.3
FLAME	=	AIR-ACETYLENE
MEASUREMENT TIME (sec)	=	7
REPLICATES	=	3
AIR FLOW ( L / min)	=	13.50
ACETYLENE FLOW (L / min)	=	2.00

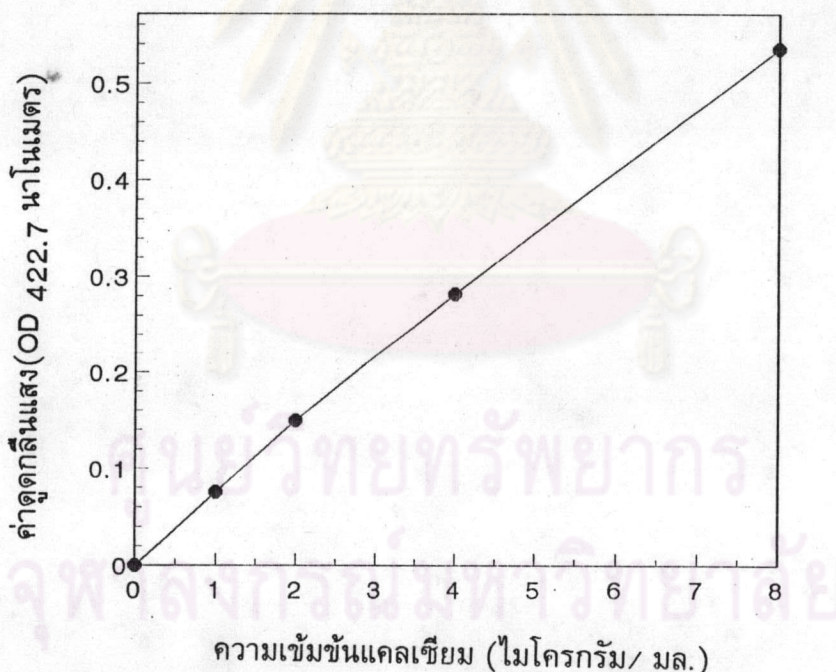


รูปที่ 13 แสดงกราฟมาตราฐานหาปริมาณเหล็ก  
จากรูปที่ 13 ได้สมการเส้นตรงเป็น  $Y = 0.068 X$   
โดย Y เป็น ค่าดูดกลืนแสงที่ค่าความยาวคลื่น 248.3 นาโนเมตร  
X เป็น ความเข้มข้นเหล็ก ( ไมโครกรัม / มลลิลิตร )  
มีค่าสัมประสิทธิ์สหสัมพันธ์ ( correlation coefficient ) เป็น 0.990

**10. กราฟมาตรฐานหาปริมาณแคลเซียมด้วยวิธีอะตอมมิกแอบชอร์พชัน (Sidney, 1984)**

เตรียมสารละลายน้ำแลคเซียมมาตรฐานเข้มข้น 1, 2, 4 และ 8 ไมโครกรัม/มล.  
วิเคราะห์หาปริมาณแคลเซียมด้วยเครื่องอะตอมมิกแอบชอร์พชัน ในสภาวะดังต่อไปนี้

INSTRUMENT MODE	=	ABSORBANCE
CALIBRATION MODE	=	CONCENTRATION
WAVELENGTH (nm)	=	422.7
FLAME	=	AIR-ACETYLENE
MEASUREMENT TIME (sec)	=	3.0
REPLICATES	=	3
AIR FLOW (L / min)	=	13.50
ACETYLENE FLOW (L / min)	=	2.00

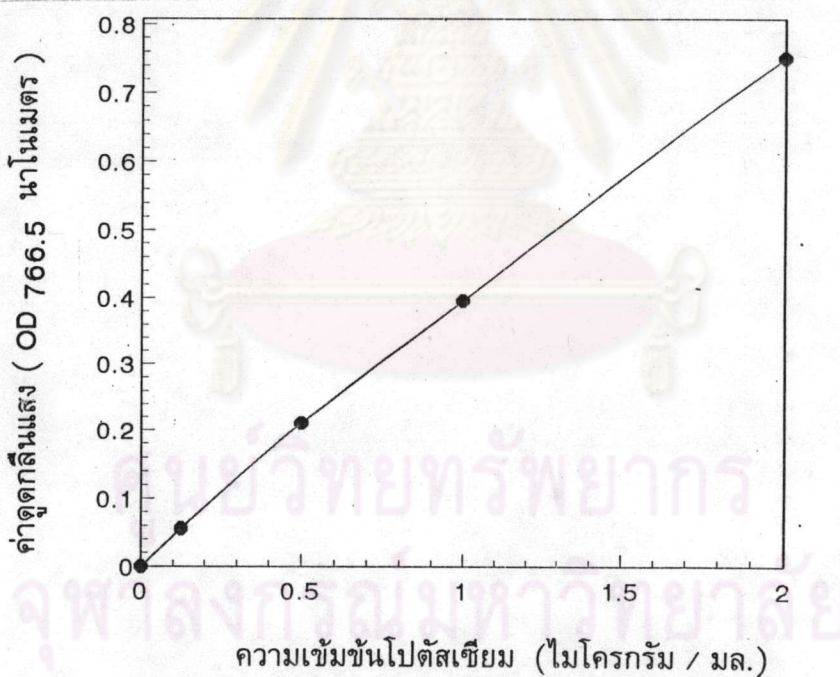


รูปที่ 14 แสดงกราฟมาตรฐานหาปริมาณแคลเซียม  
จากรูปที่ 14 ได้สมการเส้นตรงเป็น  $Y = 0.07 \times X$   
โดย Y เป็น ค่าดูดกลืนแสงที่ค่าความยาวคลื่น 422.7 นาโนเมตร  
X เป็น ความเข้มข้นแคลเซียม ( ไมโครกรัม / มล.)  
มีค่าสัมประสิทธิ์สหสัมพันธ์ ( correlation coefficient ) เป็น 0.989

**11. กราฟมาตรฐานหาปริมาณโปตัสเซียมวิเคราะห์ด้วยวิธีอัตโนมัติกาลอนชอร์พชัน**

เตรียมสารละลายน้ำโซเดียมวิเคราะห์ด้วยวิธีอัตโนมัติกาลอนชอร์พชัน  
วิเคราะห์หาปริมาณโปตัสเซียมด้วยเครื่องอัตโนมัติกาลอนชอร์พชันในสภาวะดังต่อไปนี้  
(Sidney, 1984)

INSTRUMENT MODE	=	ABSORBANCE
CALIBRATION MODE	=	CONCENTRATION
WAVELENGHT (nm)	=	766.5
FLAME	=	AIR-ACETYLENE
MEASUREMENT TIME (sec)	=	1.0
REPLICATES	=	3
AIR FLOW (L / min)	=	13.50
ACETYLENE FLOW (L / min)	=	2.00

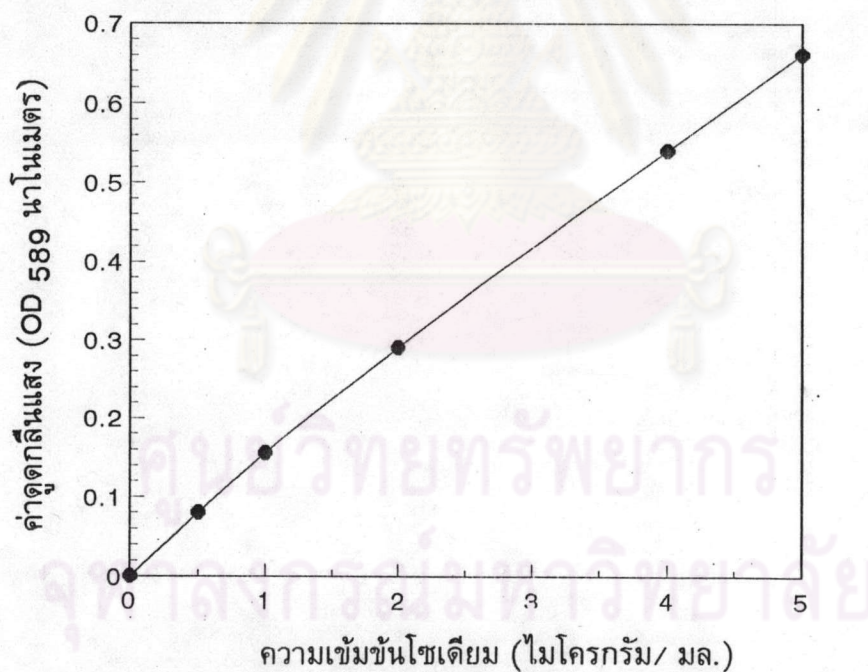


รูปที่ 15 กราฟมาตรฐานหาปริมาณโปตัสเซียม  
จากรูปที่ 15 ได้สมการเส้นตรงเป็น  $Y = 0.4X$   
โดย  $Y$  เป็น ค่าดูดกลืนแสงที่ค่าความยาวคลื่น 766.5 นาโนเมตร  
 $X$  เป็น ความเข้มข้นโปตัสเซียม (ไมโครกรัม / มล.)  
มีค่าสัมประสิทธิ์สหสัมพันธ์ (correlation coefficient) เป็น 0.996

## 12. กราฟมาตรฐานหาปริมาณโซเดียมวิเคราะห์ด้วยวิธีอะตอมมิกแอบชอร์พชัน

เตรียมสารละลายน้ำโซเดียม เข้มข้น 0, 0.5, 1, 2, 4 และ 5 ไมโครกรัม/มลลิลิตร วิเคราะห์หาปริมาณโซเดียมด้วยเครื่องอะตอมมิกแอบชอร์พชันในสภาวะดังต่อไปนี้ (Sidney, 1984)

INSTRUMENT MODE	=	ABSORBANCE
WAVELENGTH (nm)	=	589
FLAME	=	AIR-ACETYLENE
TIME CONSTANCE	=	0.05
MEASUREMENT TIME (sec)	=	1.0
REPLICATES	=	3
AIR FLOW (L / min)	=	13.50
ACETYLENE FLOW (L / min)	=	2.00



รูปที่ 16 แสดงกราฟมาตรฐานหาโซเดียม  
จากรูปที่ 16 ได้สมการเส้นตรงเป็น  $Y = 0.15 X$   
โดย Y เป็น ค่าดูดกลืนแสงที่ค่าความยาวคลื่น 589 นาโนเมตร  
X เป็น ความเข้มข้นโซเดียม ( ไมโครกรัม / มล.)  
มีค่าสัมประสิทธิ์สหสัมพันธ์ ( correlation coefficient ) เป็น 0.995

### 13. วิธีคำนวณผลการวิเคราะห์

#### ขั้นตอนที่ 1 การตอกตะกอนกรดมะนาวจากน้ำหมัก

จากน้ำหมักที่มีกรดมะนาวเข้มข้น 10 % (w/v) ปริมาตร 100 มล. ที่ใช้ในการทดลอง มีปริมาณกรดมะนาวเท่ากับ 10 กรัม

$$\text{ปริมาณกรดมะนาวที่ได้จากการวิเคราะห์} = \frac{\text{OD } 430 \times \text{dilution} \times \text{total volume (ml)}}{\text{slope} \times 1,000 \text{ ml}} \\ (\text{pentabromoacetone})$$

$$\% \text{ RECOVERY} = \frac{\text{ปริมาณกรดมะนาวที่ได้จากการวิเคราะห์}}{10 \text{ กรัม}} \times 100$$

#### ขั้นตอนที่ 2 ในการละลายตะกอนแคลเซียมซิเตอทด้วยกรดซัลฟูริก ได้สารละลายตะกอนกรดมะนาว ( เทียบกันในน้ำหมักเริ่มต้น ซึ่งเท่ากับ 10 กรัม )

$$\% \text{ RECOVERY} = \frac{\text{ปริมาณกรดมะนาวทั้งหมด(วิเคราะห์ในสารละลายตะกอน)}}{10 \text{ กรัม}} \times 100$$

#### ขั้นตอนที่ 3 การฟอกสีสารละลายตะกอนกรดมะนาวด้วยผงถ่านกัมมันต์

$$\% \text{ พอกสี} = \frac{(\text{OD } 400 \text{ ก่อนฟอกสี} - \text{OD } 400 \text{ หลังฟอกสี})}{\text{OD } 400 \text{ ก่อนฟอกสีในสารละลายตะกอน}} \times 100$$

$$\% \text{ RECOVERY} = \frac{\text{ปริมาณกรดมะนาวทั้งหมดหลังฟอกสี}}{\text{ปริมาณกรดมะนาวทั้งหมดก่อนฟอกสี}} \times 100$$

#### ขั้นตอนที่ 4 การจับสารปนเปื้อนที่มีประจุด้วยเรซิน

$$\% \text{ RECOVERY} = \frac{\text{ปริมาณกรดมะนาวทั้งหมดหลังผ่านเรซิน}}{\text{ปริมาณกรดมะนาวทั้งหมดก่อนผ่านเรซิน}} \times 100$$

#### ขั้นตอนที่ 5 การตอกผลึกกรดมะนาว

$$\% \text{ RECOVERY} = \frac{\text{น้ำหนักกรรมนาวในไชเดรท (กรัม)}}{\text{ปริมาณกรรมนาวในสารละลายก่อนตอกผลึก}} \times 100$$

ศูนย์วิทยทรพยากร  
จุฬาลงกรณ์มหาวิทยาลัย

รูปที่ 17 ลักษณะโคม่าトイแกรมของกรดมะนาว เมื่อใช้กรดอะซิติกมาตรฐานเป็นสารเปรียบเทียบภายใต้เครื่อง HPLC

$t_R$  ของกรดมะนาว เท่ากับ 7.00 นาที  
 $t_R$  ของกรดอะซิติก เท่ากับ 4.03 นาที



ประวัติผู้เขียน

นาย ชวัชชัย มงคลวัย เกิดวันที่ 1 ตุลาคม พ.ศ. 2507 สำเร็จการศึกษาปริญญาตรี วิทยาศาสตร์บัณฑิต สาขateknology ในโลหะชีวภาพ คณะวิทยาศาสตร์ มหาวิทยาลัยมหิดล เมื่อปี พ.ศ. 2530



ศูนย์วิทยทรัพยากร  
จุฬาลงกรณ์มหาวิทยาลัย